

# 溅射 Nb-Ge 膜的研究

李林 赵柏儒 周萍 郭树权 赵有祥

(中国科学院物理研究所)

陈岚峰

(冶金部有色金属研究总院)

A<sub>15</sub> Nb<sub>3</sub>Ge 化合物，仍是目前已发现的超导转变温度最高的超导体，但其  $T_c$  的高低与制备方法密切相关；用电弧熔炼的大块材料， $T_c$  在 6K 附近，但 Matthias 等使用快速淬火的办法，可制备  $T_c \sim 17K$  的样品<sup>[1]</sup>，用薄膜淀积技术，可成功的制备高  $T_c$  的 A<sub>15</sub> Nb<sub>3</sub>Ge 样品。

1973 年，Gavalier 首先用高 Ar 气压力下直流溅射技术，获得高  $T_c$  Nb<sub>3</sub>Ge<sup>[2]</sup>。之后，许多科学工作者对此化合物作了大量的研究<sup>[3-5]</sup>。到现在为止，Paidassie 等报道的 23.6K（用 CVD 法制备的 A<sub>15</sub> Nb<sub>3</sub>Ge）仍是最高的转变温度<sup>[6]</sup>。一般薄膜淀积法，被认为是一种非常快速的气相淬火方法，用这种方法可以保持在高温时形成的相，这就表明在 < 1,000°C 下形成的高  $T_c$ -A<sub>15</sub> Nb<sub>3</sub>Ge 相是一种亚稳相；事实上，在 Nb-Ge 平衡相图中，没有化学配比的 A<sub>15</sub> Nb<sub>3</sub>Ge 相存在<sup>[7]</sup>。近年来，不同实验室的研究工作者们提出一种设想，就是这种高  $T_c$  相是由于外延生长形成的<sup>[8-10]</sup>而 O 对 A<sub>15</sub> Nb<sub>3</sub>Ge 起着稳定作用<sup>[11]</sup>。

虽然如此，对于高  $T_c$  A<sub>15</sub> Nb<sub>3</sub>Ge 的成相规律还是说法不一，我们的研究目的是探索吸气溅射获得的高  $T_c$  ( $> 21K$ ) Nb-Ge 膜的淀积参数与高  $T_c$  A<sub>15</sub> 相 Nb<sub>3</sub>Ge 形成的关系。

## 一、实 验

我们用一台自制的直流吸气溅射设备制备样品，对此设备的详细介绍已刊在文献[12]。系

表 1 Nb-Ge 膜的溅射条件及其超导转变温度

实验次数	靶成份	溅 射		$T_d^*$ (°C)	淀积时间 (hr)	膜 厚 (Å)	相结构及 A <sub>15</sub> 点阵常数	$T_c$	
		电 压	电流密度					起 始 (K)	宽 度 (K)
1	Nb <sub>3</sub> Ge	750	4.3	1000	4	5000	A <sub>15</sub> $5.15 \pm 0.002 \text{ \AA}$	19.9	0.9
2	Nb <sub>3</sub> Ge	300	4.6	850**	5	5500	A <sub>15</sub> + Nb <sub>3</sub> Ge <sub>3</sub> $5.146 \pm 0.002 \text{ \AA}$	21.2	1.8
3	Nb <sub>3</sub> Ge	600	5.7	850	4.5	6000	A <sub>15</sub> $5.165 \pm 0.002 \text{ \AA}$	16.1	2.0
4	Nb <sub>3</sub> Ge	600	4.3	850	4.5	6000	A <sub>15</sub> $5.156 \pm 0.002 \text{ \AA}$	18.8	2.0
5	Nb <sub>3</sub> Ge	400	4.6	850	4.5	5000	A <sub>15</sub> $5.21 \pm 0.002 \text{ \AA}$	18.0	2.0
6	Nb <sub>2.8</sub> Ge <sub>1.2</sub>	600	4.3	800	4.0	5500	Nb <sub>3</sub> Ge <sub>3</sub> + W. A <sub>15</sub>	17.0	3.0
7	Nb <sub>2.8</sub> Ge <sub>1.2</sub>	400	3.9	750	5.0	5000	Nb <sub>3</sub> Ge <sub>3</sub> + W. A <sub>15</sub>	16.5	3.0
8	Nb <sub>2.8</sub> Ge <sub>1.2</sub>	600	5.0	900	5.0	6000	A <sub>15</sub> $5.158 \pm 0.002 \text{ \AA}$	20.0	1.9
9	Nb <sub>2.8</sub> Ge <sub>1.2</sub>	600	4.7	950	3.5	4500	A <sub>15</sub> $5.146 \pm 0.002 \text{ \AA}$	20.3	1.0
10	Nb <sub>2.8</sub> Ge <sub>1.2</sub>	600	4.0	980	4.5	6000	A <sub>15</sub> + Nb <sub>3</sub> Ge <sub>3</sub> $5.14 \pm 0.002 \text{ \AA}$	23.0	1.4

\*：点焊在  $T_a$  片加热器底面的热电偶指示温度，

\*\*：从通过  $T_a$  片加热器的电流估计的温度。

本文 1981 年 1 月 24 日收到。

统中的真空度高于  $5 \times 10^{-7}$  托，溅射是用 Zr-Al 合金净化的 Ar 气进行的。在准备溅射实验时，我们总是将整个真空系统连续地抽气及烘烤数天，然后用净化的 Ar 清洗系统三次，再抽到原来的真空度，最后将 Ar 充入真空室到需要的压力。每次溅射实验需要一周时间。

用  $2.5 \times 10 \times 0.5$  mm 的白宝石作基片，基片在放入溅射室前，必需彻底的清洗干净，基片表面不能有粉尘及油迹。基片是用 Ta 片通过电流加热的，每次可放 5 片。测温是用 Pt-PtRh 热电偶点焊在 Ta 片底部进行的，但是沉积膜的实际温度要比热电偶测出的温度低得多，准确的测温技术尚未解决。溅射使用直径为 3cm 的圆形复合靶。在 3cm 直径的 Nb 片平面上刻 8—9 条 1mm 深的槽，将磨光为 1mm 正方的 Ge 条，塞进槽中与 Nb 紧密配合。Ge 条的根数是根据计算，使靶面的 Nb/Ge 接近三。

从文献[13]，得知获得高  $T_c$  起始温度的溅射条件是：直流低电压，高 Ar 压力，低沉积速率及沉积温度  $T_D$  在 750—1,000°C 范围。在我们的溅射实验中基本用了一种 Ar 压力  $\sim 500 \mu\text{m}$ ，

表 2 Nb-Ge 膜中的 Nb 和 Ge 的成份

	化 学 分 析 (at. %)		电子探针分析 (at. %)	
	Nb	Ge	Nb	Ge
1	74.35	25.65		
2	67.50	32.50	65.55	34.45
3	80.00	20.00	80.50	19.50
4			88.37	11.64
5			76.20	23.80
8			80.15	19.85
9			81.45	18.55
10			68.40	31.60

其它溅射条件列入表 1。预溅射一小时，正式溅射时间根据厚度的要求一般在 4—5 小时。膜的厚度是用基片增重法测定，减重法校正，膜的密度  $\sim 8.7 \text{ g/cm}^3$ 。从膜的厚度及相应的沉积时间，得到沉积速率为  $10—20 \text{ \AA/m}$ 。沉积膜的 Nb-Ge 成份用电子探针测定，用化学分析（分光光度法）校正，分析结果列入表 2。用 X-光衍射法鉴定 Nb-Ge 膜中的相结构以及测定 A15 相的点阵常数。超导转变温度曲线是用四引线电阻法，用标订过的碳电阻及锗电阻测量。

## 二、实验结果

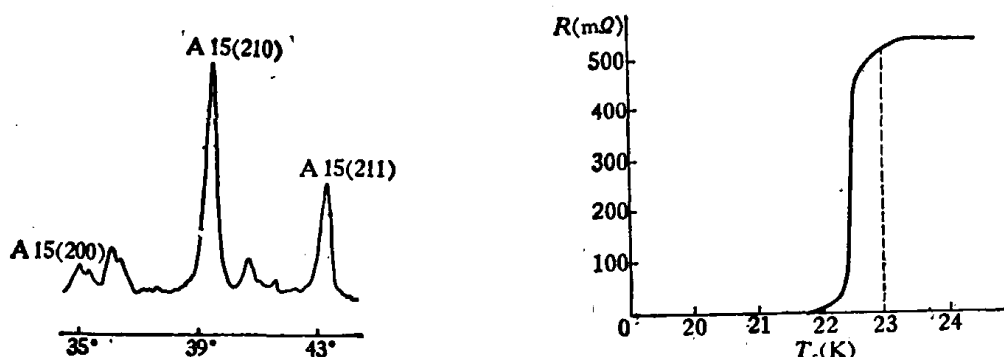


图 1 最佳样品的 X-光衍射分析图(实验 10)

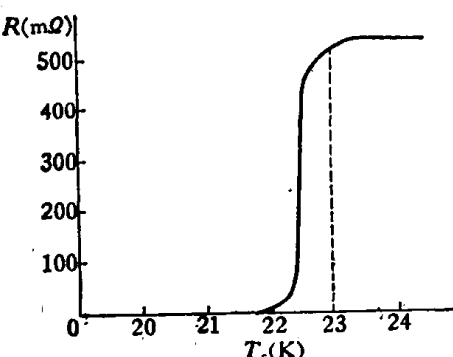


图 2 最佳样品的超导转变曲线

$T_c$  起始温度取在  $0.98R_N$  ( $R_N$  = 正常态电阻)

### 三、讨 论

从实验结果可见,在沉积温度  $T_D$  为 750—1000°C 范围时,  $T_c$  随着沉积温度的增加而增加(图 3). 从 X-光衍射分析的结果,当  $T_D$  增加时 A15 相增多而  $\text{Nb}_3\text{Ge}_3$  相减少, 反之亦然(图 4).

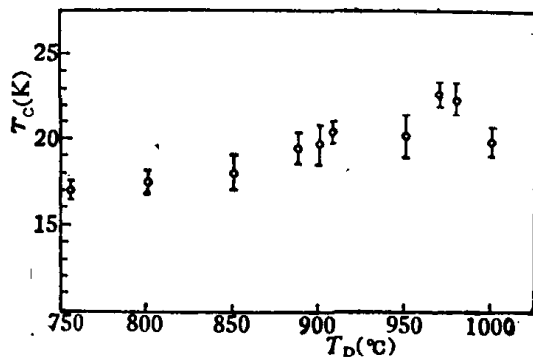


图 3 沉积温度  $T_D$  与样品  $T_c$  的关系

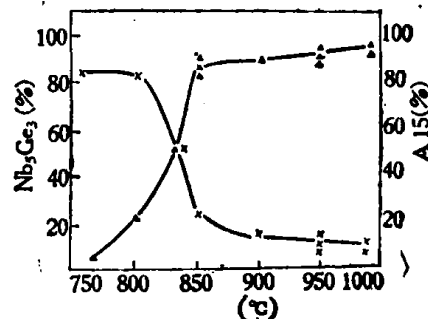


图 4  $T_D$  与 A15 相及  $\text{Nb}_3\text{Ge}_3$  相的百分比增减的关系

△ A15; ×  $\text{Nb}_3\text{Ge}_3$

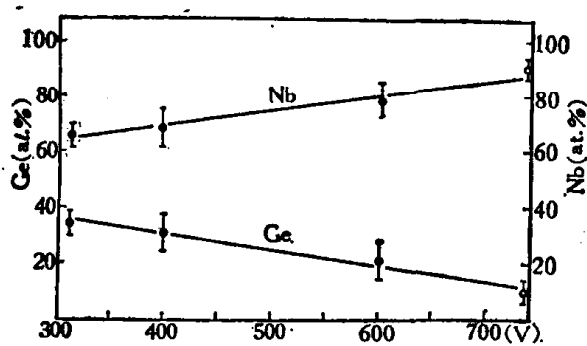


图 5 在 Nb-Ge 膜中溅射电压与 Nb、Ge 原子百分比的关系

在溅射电压 300—750V 范围内, 低电压得到较多的 Ge 原子, 而增高电压, Nb 的原子增多, 图 5. 这种现象可能是由于复合靶中 Ge 较 Nb 容易被溅射所致。

从表 1、2 可见, 制备单相的 A15 结构并不困难, 但大部分是非化学配比的, 并且富 Nb. 在第 5 次实验中, 得到近化学配比的单相 A15 结构, 但是  $T_c$  并不高  $\sim 18\text{K}$ , 并且点阵常数甚至大到  $5.21\text{\AA}$ . 从这个样品的 X-光衍射分析,

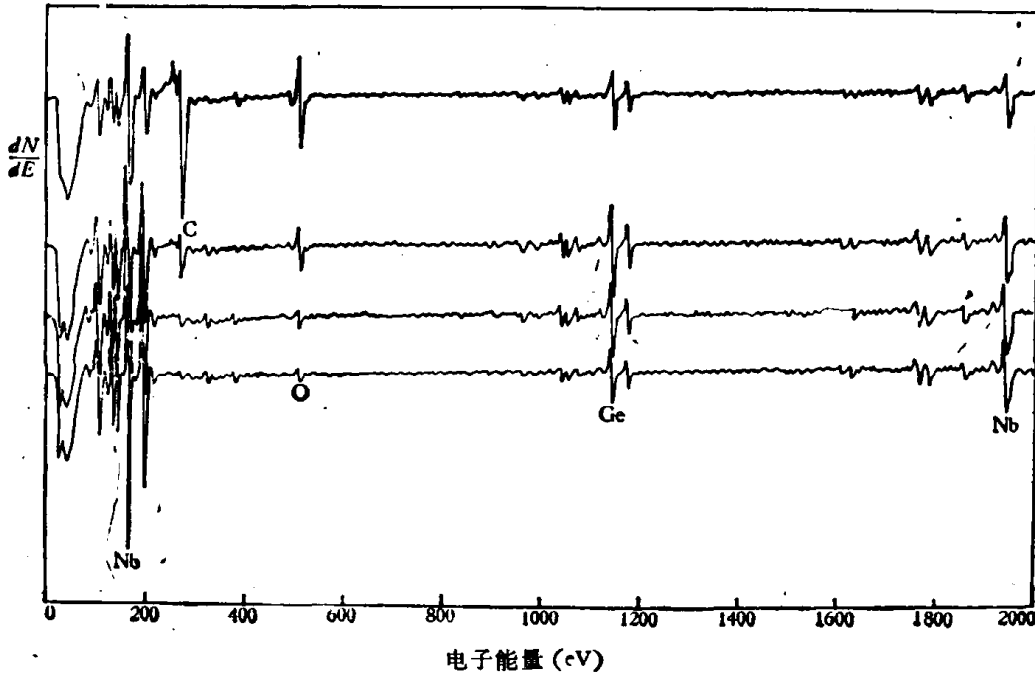


图 6

A15 的最强峰(210), 从  $39^\circ$  移到  $38.8^\circ$ 。为了消除这种现象, 我们换了一个靶子( $\text{Nb}_{2.8}\text{Ge}_{1.2}$ ), 但是实验结果仍然相同(见表 1 中实验次数 8、9)。我们考虑很可能在 Ar 气中含有较多的 O, N 以及其它气体杂质造成的后果。在后来的实验中, 我们采取边净化 Ar 气边通入真空室的措施; 即将 Ar 气徐徐通过加热的 Zr-Al 合金, 并将通入真空室的进 Ar 管子浸入液 N 中。经过这样处理, 实验 10 获得的薄膜样品有最高的  $T_c$  起始温度, 实验 10 的 5 片样品  $T_c$  起始温度及转变宽度分别为  $23\text{K } \Delta T 1.4\text{K}$ ,  $22.3\text{K } \Delta T 0.9\text{K}$ ,  $22.3\text{K } \Delta T 0.9\text{K}$ ,  $22\text{K } \Delta T 1\text{K}$ ,  $22\text{K } \Delta T 1\text{K}$  但从 X- 光衍射分析可见, 最佳样品中有第二相  $\text{Nb}_5\text{Ge}_3$  出现(图 1)。俄歇分析表明样品中含 O 量极低, 没有发现 N<sub>2</sub>, 但是表面的 C 含量较高(图 6)。虽然如此, 第二相  $\text{Nb}_5\text{Ge}_3$  及表面 C 的污染, 并没有损坏样品的  $T_c$ 。

#### 四、结语

从我们进行的一系列溅射实验的结果, 最佳的样品  $T_c$  起始温度为  $23\text{K}$ , 转变宽度为  $1.4\text{K}$ , A15 的点阵常数为  $5.14\text{\AA}$ 。改变淀积温度  $T_D$ , A15 相的含量及  $T_c$  的高低也相应的变化。我们的实验中最佳的溅射条件是:  $T_D \approx 980^\circ\text{C}$ ,  $V = 600$ , Ar 压力 =  $500\mu\text{m}$ 。 $(T_D = 970^\circ\text{C}$ , 其他条件基本不变, 也获得了起始转变温度 =  $23\text{K}$  的结果。) Nb-Ge 膜中, 含一定量的 O 或富 Nb, 都可以稳定 A15 相, 但是这种结构点阵常数大, 而是无序的, 自然  $T_c$  也不高。我们推测得到高  $T_c$ -A15 Nb<sub>3</sub>Ge 的最佳条件, 应有一临界的气体杂质含量, 而且偏于富 Ge。为了论证这种推测是否正确, 正在进行高  $T_c$ ( $> 21\text{K}$ ) Nb-Ge 膜的分析研究工作。

致谢: 张殿林、林淑媛同志对  $T_c$  的测试给予大力协助, 谢侃同志承担了俄歇分析, 郭照斌同志作了化学分析, 孙帼贤同志提供了基片, 赵忠贤同志给予本工作大力支持, 特此一并致谢。

#### 参 考 文 献

- [1] Matthias, B. T., Geballe, T. H., Willens, R. H., Corenzwit, E. & Hull, Jr. G. W., *Phys. Rev.*, **139** (1965), A1501.
- [2] Gavalier, J. R., *Appl. Phys. Lett.*, **23**(1973), 480.
- [3] Testardi, L. B., Wernick, J. H. & Royer, W. A., *Solid State Commun.*, **15**(1974), 1.
- [4] Hammond, R. H., Geballe, A. B. & Zubeck, T., *IEEE Trans. Magn. Mag.*, **13**(1977), 311.
- [5] Somekh, R. E. & Evetts, J. E., *IEEE Trans. Magn. Mag.*, **15**(1979), 1.
- [6] Paidassi, S., Spitz, J. & Besson, J., *Appl. Phys. Lett.*, **33**(1978), 105.
- [7] Jorda, J. L., Flükiger, R. & Müller, J., *J. Less-Common Metals*, **62**(1978), 25.
- [8] Gavalier, J. R., 将在 *J. Vac. Science and Tech.* 发表。
- [9] Krevet, B., Schauer, W. & Wüchner, F., *Appl. Phys. Lett.*, **36**(1980), 704.
- [10] Dayem, A. H., Geballe, T. H., Zubeck, R. B., Hallak, A. B. & Hull, Jr. G. W., *Appl. Phys. Lett.*, **30** (1977), 541.
- [11] Gavalier, J. R., Ashkin, M., Braginski, A. I. & Santhanam, A. T., *Appl. Phys. Lett.*, **33**(1978), 395.
- [12] 蒙如玲、陈桂玉、赵柏儒、郭树权、李林、陈岚峰, 低温物理, **2**(1980), 4:268.
- [13] Somekh, R. E., *Phil. Mag.*, **B37**(1978), 6.